

ФЕДЕРАЛЬНОЕ ГОСУДАРСТВЕННОЕ АВТОНОМНОЕ ОБРАЗОВАТЕЛЬНОЕ УЧРЕЖДЕНИЕ ВЫСШЕГО ОБРАЗОВАНИЯ  
«БЕЛГОРОДСКИЙ ГОСУДАРСТВЕННЫЙ НАЦИОНАЛЬНЫЙ  
ИССЛЕДОВАТЕЛЬСКИЙ УНИВЕРСИТЕТ»  
(НИУ «БелГУ»)

ИНСТИТУТ ИНЖЕНЕРНЫХ ТЕХНОЛОГИЙ И ЕСТЕСТВЕННЫХ НАУК

**Кафедра** теоретической и математической физики

ПОЛНОЕ ИССЛЕДОВАНИЕ  
ИНДУЦИРОВАННОГО ШУМОМ ФАЗОВОГО ПЕРЕХОДА  
В СТОХАСТИЧЕСКОЙ МОДЕЛИ  
АВТОКАТАЛИТИЧЕСКИХ РЕАКЦИЙ

**Диссертация на соискание академической степени  
магистра**

Направление подготовки **03.04.02 Физика**,  
программа «**Теоретическая и математическая физика**»

**Фам Минь Туан**

Научный руководитель  
Д.физ.-мат.н., проф. Вирченко Ю.П.

Рецензент  
Д.физ.-мат.н., проф. Красильников В.В.

**Белгород 2016**

## **Аннотация**

Дается полное исследование стационарной плотности распределения в пространстве относительных концентраций для трехпараметрической стохастической модели Хорстхемке-Лефевера бинарной автокаталитической циклической химической реакции, которая учитывает возмущения, вызванные тепловыми флуктуациями реагентов. Эта модель представляет собой стационарный диффузионный случайный процесс, порождаемый стохастическим уравнением с дифференциалом Стратоновича, у которого маргинальная плотность распределения допускает бифуркационную перестройку от унимодальной к бимодальной при увеличении интенсивности шума, что физически интерпретируется как динамический фазовый переход индуцированный флуктуациями в системе.

## **Ключевые слова**

бимодальное распределение

бифуркация

критическая поверхность

стехиометрические коэффициенты

стохастическое дифференциальное уравнение

диффузионный марковский процесс

уравнение Фоккера-Планка

уравнения химической кинетики

фазовая диаграмма

фазовый переход индуцированный шумом

флуктуации

## **Оглавление**

Список обозначений	4
Предметный указатель	5
Введение	7
Глава 1. Конструкция модели	9
Глава 2. Критическая поверхность	15
Глава 3. Анализ критической поверхности	18
Глава 4. Исследование критической кривой в предельных случаях	27
Заключение	30
Литература	32

## Список обозначений

В работе мы придерживаемся следующих правил при употреблении шрифтов для обозначения математических объектов и операций над ними.

- Для обозначения математических операторов (функционалов), для которых в математике имеются устоявшиеся аббревиатуры на основе букв латинского алфавита, мы употребляем шрифт «roman» –  $A, B, C, \dots; a, b, c, \dots$ . Например,  $\operatorname{Re}$  и  $\operatorname{Im}$  – реальная и мнимая части комплексного числа. Если таковых устоявшихся аббревиатур не имеется, то мы используем для обозначения математических объектов различные шрифты, в зависимости от природы объекта, перечисленные ниже.
- Для обозначения стандартных математических структур используется ажурный шрифт –  $\mathbb{A}, \mathbb{B}, \mathbb{C}, \dots$ , например,  $\mathbb{R}$  – множество действительных чисел,  $\mathbb{Z}$  – множество целых чисел,  $\mathbb{N}$  – множество натуральных чисел.
- Операторы, отображения, функционалы обозначаются прописными буквами шрифта «sanserif» –  $A, B, C, \dots$ .
- Для обозначения числовых величин (параметров, функций и их аргументов) используются буквы латинского в шрифте «italic» –  $a, b, c, \dots$  и греческого алфавитов. При этом латинские буквы  $i, j, k, l$  – обозначают целые числа.
- Для обозначения векторов жирные буквы латинского алфавита. Их компоненты нумеруются индексами  $i, j, k, l, m$ . При этом принимается тензорное соглашение о суммировании по повторяющимся парным индексам.
- Для обозначения множеств различных математических объектов используется шрифт «calligraphic» –  $\mathcal{A}, \mathcal{B}, \mathcal{C}, \dots$ .

## Предметный указатель

$t$  – временной параметр

$N_t(\cdot)$  – число частиц заданного реагента химической реакции в момент времени  $t$

$x_t$  – относительная концентрация двух реагентов в момент времени  $t$

$k_i$  – скорость  $i$ -го химического процесса

$\alpha$  – приведенный аддитивный параметр химической реакции

$\lambda$  – приведенный мультипликативный параметр химической реакции

$\tilde{\varphi}(t)$  – обобщенный процесс белого шума

$\tilde{w}(t)$  – стандартный винеровский процесс

$\tilde{x}(t)$  – случайный процесс изменения относительной концентрации

$\sigma^2$  – интенсивность тепловых флюктуаций

$p(x, t)$  – текущая плотность распределения вероятностей в точке  $x$  в момент времени  $t$

$p(x)$  – стационарная плотность распределения вероятностей в точке  $x$

$J[\cdot]$  – поток вероятности

$\varepsilon = \alpha - 1/2$

$K_\nu$  – функция Макдональда с параметром  $\nu$

$f$  – коэффициент переноса диффузионного процесса  $\tilde{x}(t)$

$g$  – диффузионный коэффициент процесса  $\tilde{x}(t)$

$\Sigma_\varepsilon$  – сечение критической поверхности в плоскости  $\varepsilon = \text{const}$

$\Sigma_\pm$  – ветви кривых в сечение критической поверхности

$\Delta$  – цилиндр  $4\lambda^2 + 3\sigma^4 - 12\sigma^2 = 0$

$G_{\pm}$  – гиперболы, ограничивающие физически разрешенную область расположения сечения при  $\varepsilon = \text{const}$  критической поверхности

$\lambda_*$  – критическое значение параметра  $\lambda$  в точке каспа сечения критической поверхности

$\sigma_*^2$  – критическое значение параметра  $\sigma^2$  в точке каспа сечения критической поверхности

## 1. Введение

При теоретическом изучении различных явлений в естественных науках возникают математические модели, которые связаны со стохастическими динамическими системами. Их формулировка и исследование основано на понятии стохастического дифференциального уравнения и привлечения общей теории таких уравнений. Одной из таких стохастических моделей является т.н. *генетическая модель*, введенная в [1] как иллюстрирующая эволюцию со временем в некоторых биологических процессах. В работе [2] было предложено применение этой модели для описания кинетики бинарных циклических химических реакций при наличии катализаторов (см. также [3], где дан более детальный вывод уравнений модели на основе химической кинетики). Там же был дан анализ стационарного решения модели в частном симметричном случае, результаты которого приведены в монографии [4]. В этой же монографии была проанализирована связь между моделью авторов и моделью работы [1].

В динамике, описываемой генетической моделью, проявляется так называемый *индуцированный шумом фазовый переход* при изменении ее свободных параметров. Он, с математической точки зрения, представляет собой бифуркационную перестройку стационарной плотности распределения случайной величины  $\tilde{x}(t)$  – значения в момент времени  $t$  случайного процесса, который определяется моделью. Причем, такая перестройка отсутствует в детерминированном пределе модели при равной нулю интенсивности шума – параметра, характеризующего влияние стохастического слагаемого в соответствующем стохастическом дифференциальном уравнении. Именно это обусловило интерес к исследованию генетической модели. Дополнительным обстоятельством привлекающим внимание к изучению этой модели является экспериментальное подтверждение наличия указанного фазового перехода [6].

Бифуркация, свойственная генетической модели представляет собой частный случай фазовых переходов под воздействием шума, начало интен-

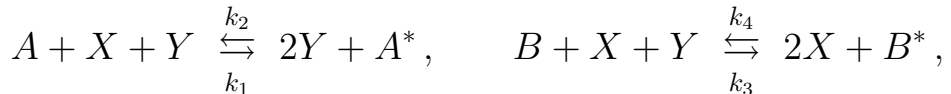
сивному математическому исследованию которых было положено в 70-х годах прошлого столетия, и до настоящего времени эта тематика исследований представляет интерес [7], как с точки зрения математической физики, так и с точки зрения приложения результатов этих исследований к конкретным физическим ситуациям. Следует отметить, что успехи в исследовании фазовых переходов под воздействием шума, в основном, связаны с изучением одномерных динамических систем.

Математическое исследование генетической модели давалось в работах ее основоположников в различные годы (см., например, их обзоры [8-10] и второе изд. уже цитированной монографии [11]). Однако, в их работах не было дано полного аналитического исследования стационарного состояния генетической модели. При исследовании стационарных состояний для наборов значений параметров модели в общем положении в этих работах авторы переходили к численной симуляции.

В настоящей работе мы приводим результаты полного исследования стационарного состояния генетической модели при всех допустимых значениях ее параметров, предварительно опубликованные в [3, 12-14]. В следующем разделе, мы кратко приводим конструкцию модели Хорстхемке-Лефевера и необходимые для дальнейшего изложения, связанные с ней результаты. В разд. 3 ставится задача вычисления критической поверхности в пространстве параметров. В 4-м разд. приводятся полное аналитическое исследование критической поверхности. В 5-м разделе критическая поверхность исследуется вблизи граничных значений параметра  $\alpha = 0$  и  $1$ , в которых она теряет смысл.

## Глава 1. Конструкция модели

Рассмотрим связанные пары химических реакций, которые осуществляются по следующей схеме:



где  $X, Y, A, B, A^*, B^*$  – символы химических реагентов и при этом вещества, обозначаемые символами  $A, B, A^*, B^*$ , выполняют роль химической среды, в которой возможно протекание прямой и обратной реакции со сравнимыми друг с другом скоростями  $k_i$ ,  $i = 1, 2, 3, 4$ . На основании базовых уравнений химической кинетики, описывающих динамику этой пары одновременно протекающих реакций, имеем <sup>1)</sup>

$$\begin{aligned}\dot{N}_t(X) &= k_2 N_t^2(Y) N_t(A^*) - k_1 N_t(X) N_t(Y) N_t(A) + \\ &\quad + k_3 N_t(X) N_t(Y) N_t(B) - k_4 N_t^2(X) N_t(B^*), \\ \dot{N}_t(Y) &= k_1 N_t(X) N_t(Y) N_t(A) - k_2 N_t^2(Y) N_t(A^*) + \\ &\quad + k_4 N_t^2(X) N_t(B^*) - k_3 N_t(X) N_t(Y) N_t(B),\end{aligned}$$

где  $N_t(A), N_t(A^*), N_t(B), N_t(B^*), N_t(X), N_t(Y)$  – зависящие от времени  $t$  числа частиц соответствующих реагентов. Из этой системы уравнений следует закон сохранения суммарного числа молекул обоих реагентов в каждом физически малом объеме термодинамической системы, так как сумма двух уравнений приводит к  $d(N_t(X) + N_t(Y))/dt = 0$ . Тогда  $N_t(X) + N_t(Y) = N = \text{const}$ .

Обозначим посредством  $x(t) = N_t(X)/N$ ,  $1 - x(t) = N_t(Y)/N$  концентрации частиц, соответственно, реагентов  $X$  и  $Y$  в момент времени  $t$ . Пренебрегая малыми изменениями со временем величин  $N_t(A), N_t(A^*), N_t(B), N_t(B^*)$  по сравнению с самими этими величинами, то есть считая, что они не зависят от  $t$ , и при этом значения  $N(A), N(A^*), N(B), N(B^*)$  имеют

---

<sup>1)</sup>По поводу методов построения уравнений химической кинетики см., например, [15].

один и тот же порядок величины, намного превосходящий числа  $N_t(X)$  и  $N_t(Y)$ , перейдем к другому масштабу времени в кинетических уравнениях посредством замены  $N[k_2N(A^*) + k_4N(B^*)]t$  на физически безразмерный параметр  $t$ . Тогда, получается следующее уравнение для концентрации  $x(t)$ :

$$\dot{x}(t) = \alpha - x(t) + \lambda x(t)(1 - x(t)), \quad x(t) \in [0, 1]. \quad (1)$$

с безразмерными коэффициентами

$$\alpha = \frac{k_2N(A^*)}{k_2N(A^*) + k_4N(B^*)}, \quad \lambda = \frac{k_3N(B) + k_4N(B^*) - k_1N(A) - k_2N(A^*)}{k_2N(A^*) + k_4N(B^*)}, \quad (2)$$

$\alpha \in [0, 1]$ ,  $\lambda \in \mathbb{R}$ , которые являются характеристиками реакции. Уравнение (1) имеет устойчивую стационарную точку  $\bar{x} = (\lambda - 1 + \sqrt{(\lambda - 1)^2 + 4\lambda\alpha})/2\lambda$  внутри интервала  $[0, 1]$ , к которой стремится любое решение с начальным значением  $x_0 \in (0, 1)$ . Значения  $\alpha = 0, 1$  являются особыми, так как для них модель теряет свой физический смысл. Наличие одной устойчивой точки равновесия указывает на то, что в детерминированном случае модель (1) не допускает качественных изменений динамики при изменении ее параметров.

При учете термодинамических случайных флуктуаций чисел  $N_t(A)$ ,  $N_t(B)$ , детерминированная модель (1) должна быть заменена на стохастическую посредством аддитивных случайных возмущений параметров модели в виде стационарных эргодических случайных процессов. В стохастической модели Хорстхемке-Лефевера такое возмущение в виде белого шума  $\sigma^2\tilde{\varphi}(t)$  вводится только для параметра  $\lambda$ ,  $\lambda \Rightarrow \lambda + \sigma^2\tilde{\varphi}(t)$ ,  $\langle \tilde{\varphi}(t) \rangle = 0$ ,  $\langle \tilde{\varphi}(t)\tilde{\varphi}(0) \rangle = \delta(t)$ , где здесь и далее знаком «тильда» отмечаются случайные величины, а угловыми скобками обозначены математические ожидания. Вводя стохастический дифференциал  $d\tilde{w}(t) = \tilde{\varphi}(t)dt$ , где  $\tilde{w}(t)$ ,  $t \in \mathbb{R}_+$  – винеровский случайный процесс, приходим к генетической модели в виде стохастического дифференциального уравнения

$$d\tilde{x}(t) = [\alpha - \tilde{x}(t) + \lambda\tilde{x}(t)(1 - \tilde{x}(t))] dt + \sigma\tilde{x}(t)(1 - \tilde{x}(t))d\tilde{w}(t), \quad (3)$$

определяющего марковский диффузионный случайный процесс  $\tilde{x}(t)$ ,  $t \in \mathbb{R}_+$ .

Для дифференциала  $d\tilde{w}(t)$  в (3), в зависимости от предназначения стохастической системы, используются различные определения (см. по этому

повору [16]). Для построения стохастических моделей физических систем естественно использовать уравнения, в которых дифференциал  $d\tilde{w}(t)$  понимается по Стратоновичу [17], в отличие от классического подхода на основе стохастического дифференциала Ито [18]. Вопросу обоснования этого положения посвящена обширная литература как теоретического характера (см., например, [19-20]), основанная на теоремах приближения решений дифференциальных уравнений со случайными коэффициентами [21-22], так и экспериментального характера, где сравнивались предсказания родственных стохастических моделей в конкретной физической ситуации, основанные на различных стохастических дифференциалах [23].

Известно, что совокупность случайных реализаций – решений стохастического дифференциального уравнения (3) составляет марковский диффузионный случайный процесс с вероятностью 1 непрерывными траекториями. Это является основополагающим положением теории уравнений с дифференциалом Ито (см., например, [24]). В случае уравнений с дифференциалом Стратоновича этот факт устанавливается на основе однозначной связи между этими дифференциалами (см., например, [16]). Поэтому для плотности  $p(x, t) = d\Pr\{\tilde{x}(t) < x\}/dx = \langle \delta(\tilde{x}(t) - x) \rangle$  маргинального распределения первого порядка этого процесса справедливо уравнение Фоккера-Планка<sup>2)</sup>

$$\frac{\partial p(x, t)}{\partial t} = -\frac{\partial [f(x)p(x, t)]}{\partial x} + \frac{\sigma^2}{2} \frac{\partial^2 [g^2(x)p(x, t)]}{\partial x^2} \equiv (\mathsf{H}p)(x, t), \quad (4)$$

$$f(x) = \alpha - x + \lambda x(1 - x) + \frac{\sigma^2}{2} x(1 - x)(1 - 2x), \quad g(x) = x(1 - x). \quad (5)$$

Для любого случайного значения  $\tilde{x}(0) \in (0, 1)$ , статистически независимого от значений винеровского процесса  $\tilde{w}(t)$ ,  $t \in \mathbb{R}_+$ , уравнение (3) имеет единственное, с точностью до стохастической эквивалентности, решение, которое с вероятностью 1 содержится в  $(0, 1)$  при всех  $t \in \mathbb{R}_+$ . Этот факт может быть доказан на основе методов общей теории стохастических дифференциальных уравнений (см. [24]). Более прозрачное доказательство строится (см. [26]) на основе представления белого шума в виде предела при  $t \rightarrow \infty$  от последовательности  $\{\tilde{\varphi}^{(m)}(t); m \in \mathbb{N}\}$  импульсных процессов с

---

<sup>2)</sup>Заметим, что к такому же уравнению можно прийти посредством техники приближений, которая разрабатывалась в рамках общего подхода для эволюционных задач статистической физики (см., например, [25]).

траекториями

$$\tilde{\varphi}^{(m)}(t) = \sum_{n \in \mathbb{Z}} \tilde{\alpha}_n^{(m)} u^{(m)}(t - \tilde{t}_n^{(m)}) . \quad (6)$$

Здесь  $\{u^{(m)}(\cdot); m \in \mathbb{N}\}$  – последовательность финитных локализованных около нуля гладких функций, стремящаяся в слабом смысле к  $\delta(t)$  при  $m \rightarrow \infty$ ;  $\{\{\tilde{\alpha}_n^{(m)}; n \in \mathbb{Z}\}; m \in \mathbb{N}\}$  – последовательность одинаковых дихотомических независимых в совокупности случайных величин  $\tilde{\alpha}_n^{(m)}$ ,  $n \in \mathbb{Z}$  с нулевым средним значением и таких, что  $\tilde{\alpha}_n^{(m)} \in \{\pm a^{(m)}\}$  при  $n \in \mathbb{Z}$  и  $a^{(m)} \rightarrow 0$  при  $m \rightarrow \infty$ ;  $\{\{\tilde{t}_n^{(m)}; n \in \mathbb{Z}\}; m \in \mathbb{N}\}$  – последовательность простейших пуассоновских случайных потоков  $\tilde{t}_n^{(m)}$ ,  $n \in \mathbb{Z}$  с плотностями  $\rho_m = (a^{(m)})^{-2}$  таких, что при каждом фиксированном  $m \in \mathbb{N}$  поток статистически независим от случайной последовательности  $\{\tilde{\alpha}_n^{(m)}, n \in \mathbb{N}\}$ . Известно, что ряд (6) сходится для каждого  $m \in \mathbb{N}$  с вероятностью 1 (см. [27]), что устанавливается применением леммы Бореля-Кантеля. Указанное выше свойство решений уравнения (3) следует из того, что этим свойством обладают решения  $\tilde{x}^{(m)}(t)$  дифференциального уравнения со случайными коэффициентами

$$\dot{\tilde{x}}^{(m)}(t) = [\alpha - \tilde{x}(t) + \lambda \tilde{x}(t)(1 - \tilde{x}(t))] + \sigma \tilde{x}(t)(1 - \tilde{x}(t))\tilde{\varphi}^{(m)}(t)$$

при каждом фиксированном  $m$ . После применения теоремы Вонга-Закаи [21] к пределам  $\tilde{x}(t)$  последовательности решений  $\langle \tilde{x}^{(m)}(t); m \in \mathbb{N} \rangle$ , что допустимо, так как последовательность случайных процессов  $\{\tilde{w}^{(m)}(t); m \in \mathbb{N}\}$  с траекториями  $\tilde{w}^{(m)}(t) = \int_0^t \tilde{\varphi}^{(m)}(s)ds$  поточечно стремится к стандартному винеровскому процессу при  $m \rightarrow \infty$ , получим, что предельные траектории  $\tilde{x}(t)$  с вероятностью 1 также полностью расположены в  $(0, 1)$ .

Ввиду того, что траектории  $\tilde{x}(t)$  диффузационного процесса полностью расположены в  $(0, 1)$  при  $\tilde{x}(0) \in (0, 1)$ , носитель каждого решения  $p(x, t)$  уравнения (4) с начальной плотностью распределения  $p(x, 0)$  такой, что  $\text{supp}[p(x, 0)] \subset [0, 1]$ , совпадает с  $[0, 1]$ . По этой причине, для такого начального распределения, соответствующее решение  $p(x, t)$  удовлетворяет граничному условию равенства нулю потока вероятности

$$J[p(x, t)] = f(x)p(x, t) - \frac{\sigma^2}{2} \frac{\partial[g^2(x)p(x, t)]}{\partial x} .$$

в естественных (в смысле Гихмана-Скорохода [24]) граничных точках  $x = 0, 1$ .<sup>3)</sup>

Довольно просто находится стационарное решение  $p(x)$  уравнения Фоккера-Планка (4), которое имеет вид  $J[p(x)] = 0$  при естественных граничных условиях. Оно существует и единствено для каждого набора значений параметров  $\alpha \in (0, 1)$ ,  $\lambda \in \mathbb{R}$ ,  $\sigma^2 > 0$  и представляется формулами (см. [3], [4])

$$p(x) = \frac{A}{x(1-x)} \left( \frac{x}{1-x} \right)^\beta \exp \left\{ \frac{2}{\sigma^2} \left( \frac{\alpha-1}{1-x} - \frac{\alpha}{x} \right) \right\}, \quad \beta = \frac{2(2\alpha + \lambda - 1)}{\sigma^2} \quad (7)$$

где постоянная  $A$  находится из условия  $\int_0^1 p(x)dx = 1$ ,

$$A = \frac{1}{2} \exp \left\{ \frac{2}{\sigma^2} + \beta \ln \sqrt{\frac{1-\alpha}{\alpha}} \right\} \left[ K_{-\beta} \left( \frac{4}{\sigma^2} \sqrt{\alpha(1-\alpha)} \right) \right]^{-1},$$

где  $K_{-\beta}(\cdot)$  – модифицированная функция Бесселя второго рода с показателем  $(-\beta)$ , которая для любого показателя  $\nu \in \mathbb{C}$  и положительного  $x$  определяется интегральным представлением (см. [28], стр. 700)

$$K_\nu(x) = \frac{1}{2} \int_{-\infty}^{\infty} e^{-x \operatorname{ch} u - \nu u} du, \quad \operatorname{Re} x > 0.$$

Плотность распределения  $p(x)$  теряет смысл при  $\alpha = 0$ , так как она неинтегрируема в окрестности точки  $x = 0$ . По той же причине, она теряет смысл при  $\alpha = 1$ , когда она неинтегрируема в окрестности точки  $x = 1$ . При  $\alpha \in (0, 1)$  имеет место  $p(0) = p(1) = 0$ .

Диффузионный процесс  $\tilde{x}(t)$ ,  $t \in \mathbb{R}_+$  характеризуется тем, что границы отрезка  $[0, 1]$ , внутри которого расположены его траектории, не являются естественными в смысле Феллера (определение см., например, в [4], стр. 146). Это связано с тем, что критерием естественности границ по Феллеру является расходимость двух интегралов – характеристик процесса вблизи границ, которые в нашем случае имеют вид

$$\int p(x)g^2(x) \left( \int_{x'}^x p(y)dy \right) dx, \quad \int p(x) \left( \int_{x'}^x p(y)g^2(y)dy \right) dx$$

---

<sup>3)</sup>Это свойство используется без обоснования в [4].

и поэтому, заведомо, сходятся.

Таким образом, для процесса  $\tilde{x}(t)$ ,  $t \in \mathbb{R}_+$  применима теорема Эллиотта (см. [29]), на основании которой можно утверждать, что: спектр  $\{-\mu_m\}$  дифференциального оператора  $\mathsf{H}$  с граничными условиями  $(J[p(x, t)])_{x=0,1} = 0$  чисто дискретный и  $\mu_m \geq 0$ , а соответствующие собственные функции  $\psi_m(x)$  образуют полную систему в пространстве  $\mathbb{L}_1(0, 1)$ .

Указанное свойство оператора  $\mathsf{H}$  позволяет утверждать, что случайный процесс  $\tilde{x}(t)$ ,  $t \in \mathbb{R}$  имеет единственную финальную плотность распределения, которая совпадает с единственной собственной функцией оператора  $\mathsf{H}$  с нулевым собственным значением. Это означает, что для любой начальной плотности  $p(x, 0)$  с носителем, сосредоточенным на  $[0, 1]$ , и удовлетворяющей граничному условию  $(J[p(x, 0)])_{x=0,1} = 0$ , соответствующее решение  $p(x, t)$  уравнения (4) стремится к стационарной плотности  $p(x)$  при  $t \rightarrow \infty$ . Более того, можно утверждать, что статистические характеристики случайного процесса  $\tilde{x}(t)$ ,  $t \in \mathbb{R}_+$  стремятся к соответствующим статистическим характеристикам диффузационного стационарного эргодического процесса  $\tilde{x}_\infty(t)$ ,  $t \in \mathbb{R}$  с маргинальной плотностью распределения первого порядка  $p(x)$  и условной вероятностью перехода  $p(x, t; y, s)$ , удовлетворяющей уравнению (4) при  $t \geq s$  и начальному условию  $p(x, s; y, s) = \delta(x - y)$ .

## Глава 2. Критическая поверхность

Качественное устройство плотности  $p(x)$  – число ее мод характеризуется разбиением пространства наборов параметров  $(\lambda, \sigma^2, \alpha)$  на области таким образом, что эта плотность имеет фиксированное число точек максимума (модальность плотности распределения) в каждой из этих областей. Такое разбиение, по аналогии с термодинамикой, будем называть фазовой диаграммой системы, а поверхность  $\Sigma$ , которая разделяет эти области, будем называть *критической поверхностью*. Дальнейшее содержание статьи посвящено исследованию этой поверхности. Изменению модальности плотности  $p(x)$  соответствует изменение числа решений уравнения  $dp(x)/dx = 0$  при изменении параметров системы, то есть такая бифуркация  $p(x)$  связана с вырождением решений этого уравнения, которое приводится к виду

$$S(x) \equiv \alpha - x + \lambda x(1-x) - \frac{\sigma^2}{2}x(1-x)(1-2x) = 0, \quad x \in (0, 1). \quad (8)$$

Качественный анализ критической поверхности при произвольных значениях параметров  $\lambda$  и  $\alpha$ , который дается ниже в этом и следующем разделах, отсутствует в предыдущих публикациях, посвященных генетической модели.

**Замечание 1.** Кроме решений уравнения (8), формально, условию наличия бифуркации плотности  $p(x)$  удовлетворяют точки  $x = 0$  и  $1$ , так как  $p'(0) = p''(0) = p'(1) = p''(1) = 0$  при любых значениях параметров  $\alpha, \lambda$  и  $\sigma^2$ , кроме  $\sigma^2 = 0$  (где плотность  $p(x)$  не существует). Однако, при фиксированном  $\alpha$ , значения параметров  $\lambda_c$  и  $\sigma_c^2$ , при которых могут возникнуть дополнительные экстремумы плотности в  $x = 0, 1$  отсутствуют. В самом деле, если бы существовала экстремальная точка  $x_c(\lambda, \sigma^2)$ , которая находится внутри  $(0, 1)$  и такая, что  $x_c(\lambda, \sigma^2) \rightarrow 0$ , либо  $x_c(\lambda, \sigma^2) \rightarrow 1$  при  $\lambda \rightarrow \lambda_c$  и  $\sigma^2 \rightarrow \sigma_c^2$ , независимо от направления перехода к пределу в полуплоскости  $(\lambda, \sigma^2 > 0)$ , то в этой точке должно выполняться  $S(x_c(\lambda, \sigma^2)) = 0$ . Но это невозможно, так как при  $\lambda \rightarrow \lambda_c$ ,  $\sigma^2 \rightarrow \sigma_c^2$  в последнем равенстве,  $S(0) = \alpha \neq 0$ , либо  $S(1) = \alpha - 1 \neq 0$ .

Уравнение (8) может иметь либо одно, либо три вещественных решения. Тем его решениям, которые расположены на  $(0, 1)$  соответствуют экстремумы плотности  $p(x)$ . Один вещественный корень всегда находится внутри  $(0, 1)$ , так как  $S(1)S(0) < 0$ , и поэтому  $p(x)$  имеет один экстремум внутри интервала. Тогда, ввиду  $p(0) = p(1) = 0$ , при наличии трех экстремумов, два из которых являются максимумами, а один – минимумом между ними, имеется три вещественных корня уравнения (8) внутри  $(0, 1)$ .

Ввиду замечания 1 кратность решений уравнение  $dp/dx = 0$  внутри  $(0, 1)$  эквивалентна кратности корней уравнения  $S(x) = 0$ . Анализ существования кратного корня  $x_0 \in \mathbb{R}$  у полинома  $S(x)$  основан на том, что для него, наряду с равенством  $S(x_0) = 0$ , должно выполняться  $S'(x_0) = 0$ . Тогда условие существования кратного корня у полинома  $S(x)$ , в зависимости от его параметров, получается из равенства нулю зависящего от параметров остатка, который получается в результате применения алгоритма Евклида к паре полиномов  $S(x)$  и  $S'(x)$ . В результате, приходим к уравнению критической поверхности  $\Sigma$  в виде

$$P(\lambda, \sigma^2, \varepsilon) \equiv \lambda^4 + \lambda^2 \left(1 - 5\sigma^2 - \sigma^4/2\right) - \lambda\varepsilon(9\sigma^4 + 18\sigma^2 - 4\lambda^2) - 4\sigma^2 \left(1 - \sigma^2/4\right)^3 - 27\sigma^4\varepsilon^2 = 0, \quad (9)$$

где  $\varepsilon = \alpha - 1/2 \in [-1/2, 1/2]$ . Выполнение этого равенства является необходимым и достаточным условием для существования кратного корня  $x_0$  при наборе  $(\lambda, \sigma^2, \alpha)$  разрешенных значений параметров, который, однако, может как принадлежать, так и не принадлежать  $(0, 1)$ .

При выполнении (9) из условия  $S'(x_0) = 0$  определяется сам кратный корень,

$$\begin{aligned} S'(x_0) &= 3\sigma^2 \left(x_0 - \frac{1}{2}\right)^2 + 2\lambda \left(x_0 - \frac{1}{2}\right) + 1 - \frac{\sigma^2}{4} = 0, \\ x_0 &= \frac{1}{2} + \frac{2\lambda(1 + 2\sigma^2) + (18\alpha - 9)\sigma^2}{12\sigma^2 - 3\sigma^4 - 4\lambda^2}. \end{aligned} \quad (10)$$

Причем, такое решение возможно только тогда, когда дискриминант квадратного уравнения положителен, что означает  $4\lambda^2 + 3\sigma^4 - 12\sigma^2 > 0$ . Таким образом критическая поверхность  $\Sigma$  должна быть расположена вне поверхности  $\{(\lambda, \sigma^2, \alpha) : \Delta \equiv 4\lambda^2 + 3\sigma^4 - 12\sigma^2 = 0\}$  эллиптического цилиндра, имея с ней точки соприкосновения. В точках соприкосновения  $\Sigma$  с

поверхностью цилиндра реализуется тройной корень уравнения  $S(x) = 0$ ,  $x_0 = 1/2 - \lambda/3\sigma^2$ . Остальные точки поверхности соответствуют двойному корню. Для того, чтобы кратный корень  $x_0$  соответствовал бифуркации плотности  $p(x)$  необходимо и достаточно, чтобы  $0 < x_0 < 1$ , что эквивалентно неравенству

$$\left| \frac{4\lambda(1 + 2\sigma^2) + 36\varepsilon\sigma^2}{4\lambda^2 + 3\sigma^4 - 12\sigma^2} \right| < 1,$$

которое накладывает дополнительное ограничение на параметры  $(\lambda, \sigma^2, \alpha)$  (для тройного корня оно имеет вид  $2|\lambda| < 3\sigma^2$ ). Вводя гиперболы

$$G_{\pm}(\lambda, \sigma^2, \varepsilon) \equiv (2\sigma^2 + 1 \pm 2\lambda)^2 - (\sigma^2 + 2(4 \mp 9\varepsilon))^2 + 4(4 \mp 9\varepsilon)^2 - 1 = 0, \quad (11)$$

последнее неравенство записывается в виде

$$G_+(\lambda, \sigma^2, \varepsilon)G_-(\lambda, \sigma^2, \varepsilon) \geq 0. \quad (12)$$

Оно определяет допустимую область для расположения точек критической поверхности, границами которой являются соответственно гиперболы  $G_{\pm} = 0$ . Это условие очень важно, так как поверхность, определяемая уравнением (9) не является связной.<sup>4)</sup>

**Замечание 2.** Так как при  $|\varepsilon| \neq 1/2$  кратное решение  $x_0$  не может пересечь границы 0 и 1 (см. (10)) при изменении параметров, то кривая  $\Sigma_{\varepsilon}$ , определяемая уравнением (9), при  $\varepsilon = \text{const}$ ,  $|\varepsilon| \neq 1/2$  и, в частности, та ее часть, которая представляет пересечение критической поверхности с плоскостью  $\varepsilon = \text{const}$ , не имеет общих точек с гиперболами  $G_{\pm} = 0$ . Исключение могут составлять точки с  $\sigma^2 = 0$ , где плотность  $p(x)$  не существует, и точки, где  $\Delta = 0$ . Последнее связано с невозможностью рассуждать по непрерывности в формуле (10), которая теряет смысл, так как предел к точке, в которой  $\Delta = 0$ , по различным направлениям может быть разным.

**Замечание 3.** Пересечение кривой  $\Sigma_{\varepsilon}$  с гиперболами  $G_{\pm} = 0$  в точках, для которых  $\Delta = 0$ , но  $\sigma^2 \neq 0$ , возможно только в точках соприкосновения кривой с эллипсом  $\Delta = 0$ , так как ее точки не могут находиться внутри этого эллипса.

---

<sup>4)</sup>Заметим, что при  $\alpha \neq 1/2$ , кроме кратного корня  $x_0$ , имеется еще один не равный ему корень, за исключением точек соприкосновения поверхности  $\Sigma$  с поверхностью цилиндра. При этом некратный корень соответствует максимуму плотности  $p(x)$  и бифуркация состоит в одновременном рождении дополнительного максимума вместе с минимумом.

### Глава 3. Анализ критической поверхности

Исследование критической поверхности проведем, изучая ее пересечения с плоскостями при фиксированных значениях  $\alpha \in (0, 1)$  (либо  $\varepsilon \in (-1/2, 1/2)$ ). Эти пересечения представляют собой кривые  $\Sigma_\varepsilon$  четвертого порядка. Ту часть у каждой из этих кривых, которая удовлетворяет условию (12), будем в дальнейшем называть *критической кривой*. Полная классификация кривых четвертого порядка отсутствует, ввиду чрезвычайного разнообразия их качественного устройства (см. [30]). В частности, они могут быть многосвязными и при этом не существует общего метода определения числа их связанных компонент. Кривая  $\Sigma_\varepsilon$ , как раз, оказывается многосвязной, и поэтому возникает задача выделения именно той из ее компонент, которая соответствует именно критической кривой. В общем положении значений параметров  $(\lambda, \sigma^2, \varepsilon)$ , для выделения требуемой компоненты и ее исследования, потребуется провести довольно сложный геометрический анализ.

Обозначим посредством  $(\lambda_*(\varepsilon), \sigma_*^2(\varepsilon))$  координаты точек соприкосновения кривой  $\Sigma_\varepsilon$  с эллипсом  $\Delta = 0$  на плоскости  $\varepsilon = \text{const}$ , указав явно их зависимость от  $\varepsilon$ . Они находятся из совместного решения уравнений  $P(\lambda_*, \sigma_*^2, \varepsilon) = 0$  и  $4\lambda_*^2 + 3\sigma_*^4 - 12\sigma_*^2 = 0$ . Из этих уравнений, находим, что

$$\lambda_* = -\frac{9\varepsilon\sigma_*^2}{1 + 2\sigma_*^2}, \quad (13)$$

и, используя уравнение эллипса,

$$4(\sigma_*^2 - 1)^3 = 27\sigma_*^2(1 - 4\varepsilon^2). \quad (14)$$

Это уравнение однозначно определяет, неявным образом, зависимость  $\sigma_*^2(\varepsilon)$ , так как (14) имеет одно вещественное решение  $\sigma_*^2(\varepsilon) \geq 1$  (при  $\sigma_*^2 < 1$  уравнение не имеет решений, так как  $|\varepsilon| < 1/2$ ). В самом деле, в правой части (14) находится линейная функция, а в левой – выпуклая при  $\sigma_*^2 > 1$  функция. Следовательно, при  $\sigma_*^2 > 1$  имеется не более двух вещественных

решений. С другой стороны, значение линейной функции в правой части больше значения функции в левой части при  $\sigma_*^2 = 1$ . Поэтому имеется только одно пересечение прямой с выпуклой левой частью при указанных значениях  $\sigma_*^2$ . Это пересечение должно происходить при  $\sigma_*^2 < 4$ . Заметим также, что равенство  $\sigma_*^2 = 1$  возможно только при  $|\varepsilon| = 1/2$ .

Перейдем в уравнении  $P(\lambda, \sigma^2, \varepsilon) = 0$  к полярным координатам с центром в точке соприкосновения  $(\lambda_*(\varepsilon), \sigma_*(\varepsilon))$

$$\lambda = \lambda_* + \rho \cos \varphi, \quad \sigma^2 = \sigma_*^2 + \rho \sin \varphi \quad (15)$$

и разложим полином  $P(\lambda, \sigma^2, \varepsilon)$  в ряд Тейлора около этой точки по степеням  $\rho$ . Это разложение обрывается на четвертой степени по  $\rho$ ,

$$P(\lambda, \sigma^2, \varepsilon) = -3(\sigma_*^2 - 1)^2(\rho \sin \varphi)^2 Q_2(z) + \frac{1}{6}(\rho \sin \varphi)^3 Q_3(z) + \frac{1}{16}(\rho \sin \varphi)^4 Q_4(z),$$

где введена переменная  $z = \operatorname{ctg} \varphi$  и ее значение  $z_* = \operatorname{ctg} \varphi_* = \lambda_*/3\sigma_*^2 \in [-1/2, 1/2]$ ,

$$Q_2(z) = (z - z_*)^2 \geq 0, \quad Q_4(z) = (4z^2 - 1)^2 \geq 0,$$

$$Q_3(z) = 8z_*(7\sigma_*^2 - 1)z^3 - 6(\sigma_*^2 + 5)z^2 + 18z_*(1 + \sigma_*^2)z + \frac{3}{2}(\sigma_*^2 - 3).$$

Точки, у которых  $\operatorname{ctg} \varphi = \pm\infty, \varphi = 0, \pi$  соответствуют пересечению кривой с уровнем  $\sigma^2 = \sigma_*^2$ .

Значение  $z_*$  принадлежит интервалу  $(-1/2, 1/2)$ . Это следует из того, что точка  $(\lambda_*, \sigma_*^2)$  лежит на эллипсе, и поэтому  $z_*^2 = \lambda_*^2/9\sigma_*^4 = (4 - \sigma_*^2)/12\sigma_*^2 \leq 1/4$  при  $\sigma_*^2 \geq 1$ .

Найдем аналитическое выражение, определяющее кривую  $\Sigma_\varepsilon$ . Поделим  $P(\lambda, \sigma^2, \varepsilon)$  на  $\rho^2$ , исключив значение  $\rho = 0$ , которое соответствует точке соприкосновения кривой с эллипсом. Тогда получаем квадратное уравнение относительно  $\rho$ ,

$$\frac{1}{16}\rho^2 Q_4(z) \sin^2 \varphi + \frac{1}{6}\rho Q_3(z) \sin \varphi - 3(\sigma_*^2 - 1)^2 Q_2(z) = 0. \quad (16)$$

Дискриминант этого уравнения неотрицателен, в силу определения функций  $Q_2(z), Q_4(z)$ . Поэтому получаем две функции, определяемые (9),

$$\rho_\pm(\varphi) = \frac{4}{3Q_4(z) \sin \varphi} \left( -Q_3(z) \pm \sqrt{Q_3^2(z) + 27(\sigma_*^2 - 1)^2 Q_4(z) Q_2(z)} \right). \quad (17)$$

Они описывают кривую  $\Sigma_\varepsilon$  при тех значениях  $\varphi$ , при которых  $\rho_\pm(\varphi) \geq 0$ .

Ввиду неотрицательности дискриминанта, функция  $\rho_+(\varphi) \geq 0$  при  $\sin \varphi \geq 0$  и поэтому определяет кривую только при  $\varphi \in [0, \pi]$ . Наоборот, функция  $\rho_-(\varphi)$  определяет кривую только при  $\sin \varphi \leq 0$ ,  $\varphi \in [-\pi, 0]$ , независимо от знака  $Q_3(z)$ .

Используя связь  $z_*^2 = (4 - \sigma_*^2)/12\sigma_*^2$ , находим, что коэффициент  $Q_3(z_*)$  положителен

$$Q_3(z_*) = \frac{8}{9\sigma_*^4}(\sigma_*^2 - 1)^3 > 0.$$

По непрерывности,  $Q_3(z) > 0$  в окрестности точки  $z_*$  при  $\sigma_*^2 > 1$ . Тогда функция  $\rho_+(\varphi)$  определена при  $\varphi$  в окрестности  $\varphi_*$ . При этом, ввиду  $Q_2(z_*) = 0$ ,  $\rho_+(\varphi_*) = 0$ , в этой точке имеется соприкосновение кривой  $\Sigma_\varepsilon$  с эллипсом.

Функция  $\rho_-(\varphi)$  может обращаться в нуль только в исключительном случае, когда одновременно  $Q_3(z) = 0$  и  $Q_2(z)Q_4(z) = 0$ , что реализуется только при  $\varepsilon = \pm 1/2$ . Таким образом, при  $|\varepsilon| < 1/2$  функция  $\rho_-(\varphi) > 0$  при  $\varphi \in (-\pi, 0)$ .

Если дискриминант не равен нулю, то есть  $|\varepsilon| < 1/2$ , то кривые, определяемые  $\rho_+(\varphi)$  и  $\rho_-(\varphi)$ , могут иметь общие точки только при  $\varphi = 0, \pi$ . Из уравнения (16) следует, что функции  $\rho_\pm(\varphi)$ , которые являются его решениями, имеют конечные совпадающие для них обоих пределы  $r_+$  и  $r_-$  при  $\varphi \rightarrow 0$  и  $\pi$ , соответственно, которые удовлетворяют уравнению

$$r_\pm^2 \pm \varkappa r_\pm - 3(\sigma_*^2 - 1)^2 = 0, \quad \varkappa = 8z_*(7\sigma_*^2 - 1)/6.$$

**Теорема 1.** Функции  $\rho_+(\varphi)$  и  $\rho_-(\varphi)$  определены и неотрицательны, соответственно, на  $[-\pi, 0]$  и на  $[0, \pi]$  при  $z \neq \pm 1/2$ . При этом  $\rho_+(\varphi) \rightarrow \infty$  при  $z \rightarrow \pm 1/2$ .

□ Функция  $\rho_+(\varphi)$  определена в окрестности угла  $\varphi_*$  и при этом  $z_* \in (-1/2, 1/2)$ . Покажем, что она определена на всем интервале  $(-1/2, 1/2)$ .

На ограниченном интервале изменения  $z = \operatorname{ctg} \varphi$  полиномы  $Q_2(z)$ ,  $Q_3(z)$ ,  $Q_4(z)$  от  $z$  ограничены. Тогда, как следует из формулы (17), функция  $\rho_+(\varphi)$  может стремиться к  $\infty$  только в том случае, когда  $Q_4(z) \rightarrow 0$ , то есть  $z \rightarrow \pm 1/2$  и  $\sin \varphi \rightarrow 2\sqrt{5}/5$ . В этих условиях, числитель в (17) стремится к ненулевому значению. Вычисление значений  $Q_3(\pm 1/2)$  на основе выражения (13) для  $\lambda_*$  и  $z_* = \lambda_*/3\sigma_*^2$  приводит к формуле

$Q_3(\pm 1/2) = -12(1 \pm 2\varepsilon) < 0$ . Ввиду отрицательности этой величины,  $\rho_+(\varphi) > 0$ . Следовательно, получаем следующую асимптотическую формулу

$$\rho_+(\varphi) = \frac{\sqrt{5}|Q_3(\pm 1/2)|}{12(z^2 - 1/4)^2} (1 + o(1)) \text{ при } z \rightarrow \pm \frac{1}{2}.$$

Таким образом, положительная функция  $\rho_+(\varphi)$  в области определения  $[0, \pi]$  имеет по переменной  $z$  интервалы непрерывности  $(-\infty, -1/2)$ ,  $(-1/2, 1/2)$ ,  $(1/2, \infty)$  и при  $|z| = 1/2$  – разрывы второго рода.

Из (17) следует, что функция  $\rho_-(\varphi)$  определена при всех  $\varphi \in (-\pi, 0)$ , за исключением, может быть, тех углов, для которых  $Q_4(z) = 0$ . Однако, при  $z = \pm 1/2$  она имеет конечный предел

$$\lim_{z \rightarrow \pm 1/2, \sin \varphi < 0} \rho_-(\varphi) = 9\sqrt{5}(\sigma_*^2 - 1)^2 Q_2(\pm 1/2)/|Q_3(\pm 1/2)|.$$

Следовательно, по непрерывности,  $\rho_-(\varphi)$  определена на всем интервале  $(-\pi, 0)$ . ■

**Следствие 1.** Функции  $\rho_\pm(\varphi)$  определяют двухсвязную кривую так, что одна ее компонента  $\Sigma_+$  определяется функцией  $\rho_+(\varphi)$  при  $\varphi \in (\psi, \pi - \psi)$ ,  $\psi = \operatorname{arcctg}(1/2)$ , а вторая компонента  $\Sigma_-$  определяется на дополнении к  $[-\pi, \pi] \setminus [\psi, \pi - \psi]$  следующим образом:

$$\begin{cases} \rho_+(\varphi) & , \varphi \in [0, \psi); \\ \rho_-(\varphi) & , \varphi \in [-\pi, 0]; \\ \rho_+(\varphi) & , \varphi \in (\pi - \psi, \pi]. \end{cases}$$

□ Утверждение следует из того, что связная компонента кривой должна определяться непрерывной функцией, и того, что  $\rho_\pm(\varphi)$  имеют совпадающие предельные значения при  $\varphi = 0, \pi$ . ■

Исследуем поведение компоненты  $\Sigma_+$  в окрестности точки ее соприкосновения  $(\lambda_*, \sigma_*^2 > 1)$  с эллипсом  $\Delta = 0$ ,  $\varepsilon = \text{const}$ , то есть при значениях  $\varphi$  в малой окрестности угла  $\varphi_*$  или, что то же самое, при значениях  $z$  в малой окрестности  $z_*$ , где  $\rho_+(\varphi) = o(1)$ . Покажем, что компонента имеет особенность типа «касп» с острием в этой точке, направленным в сторону эллипса и касательной, направленной под углом  $\varphi_*$ .

**Теорема 2.** В локальных декартовых координатах  $(u, v)$  с центром в точке  $(\lambda_*, \sigma_*^2 > 1)$  кривая, представляемая функцией  $\rho_+(\varphi)$ , описывается

асимптотической формулой в окрестности точки  $(0, 0)$

$$u = \text{const} |v|^{2/3}, \quad v \rightarrow 0.$$

□ Найдем асимптотическое выражение функции  $\rho_+(\varphi)$  в окрестности точки  $(\lambda_*, \sigma_*^2)$  при малых значениях  $(z - z_*)$ . Так как  $Q_3(z_*) > 0$  и  $Q_4(z_*) \neq 0$ ,  $Q_2(z) = (z - z_*)^2$ , то из (17) получаем следующую асимптотическую с точностью до  $(z - z_*)^2$  формулу при  $z \rightarrow z_*$ :

$$\rho_+(\varphi) = 18 \frac{(\sigma_*^2 - 1)^2}{\sin \varphi_*} \frac{Q_2(z)}{Q_3(z_*)} + O((z - z_*)^3).$$

Учитывая, что  $\sin \varphi_* = (1 + z_*^2)^{-1/2}$ , и явное выражение для  $Q_3(z_*)$ , эта формула преобразуется к виду

$$\rho_+(\varphi) = \frac{3\sigma_*^2}{1 - 4\varepsilon^2} (\sigma_*^2 - 1)^2 (1 + z_*^2)^{1/2} (z - z_*)^2 + O((z - z_*)^3).$$

Перейдем в локальные декартовы координаты  $(u, v)$  с центром в точке  $(\lambda_*, \sigma_*^2)$  и  $u$ -осью, направленной под углом  $\varphi_*$ . При этом  $u > 0$ . В терминах таких координат, кривая  $\rho_+(\varphi)$  представляется уравнением  $u^2 + v^2 = C \operatorname{arctg}^4(v/u)$ , где  $\rho_+(\varphi) = (v^2 + u^2)^{1/2}$ ,  $\varphi - \varphi_* = \operatorname{arctg}(v/u)$ . Из уравнения следует, что при  $u, v \rightarrow 0$  вдоль кривой выполняется  $v/u \rightarrow 0$ . Следовательно, при указанном переходе, имеет место асимптотическая эквивалентность  $u^2 + v^2 \propto (v/u)^4$ . В свою очередь, это приводит к тому, что  $u^6 \propto v^4$ , то есть  $u \propto |v|^{2/3}$ ,  $v \rightarrow 0$ . ■

Согласно этой теореме, критическая кривая состоит из двух *ветвей*, сшитых в точке соприкосновения с эллипсом  $\Delta = 0$ .

Для установления возможности пересечения компонент  $\Sigma_{\pm}$  с гиперболами  $G_{\pm} = 0$  перейдем в уравнении (11) к полярным координатам  $(\rho^{(\pm)}, \varphi)$ ,

$$\begin{aligned} \rho^{(\pm)} [4(1 \pm \sin 2\varphi) - \sin^2 \varphi] + \\ + 2[2 \cos \varphi (2(\lambda_* \pm \sigma_*^2) \pm 1) + \sin \varphi (3\sigma_*^2 \pm 4\lambda_* - 6 \pm 18\varepsilon)] = 0, \end{aligned} \quad (18)$$

где при подстановке использовано, что  $G_{\pm}(\lambda_*, \sigma_*^2, \varepsilon) = 0$  и опущено указание зависимости от  $\varepsilon$  в величинах  $\lambda_*$  и  $\sigma_*^2$ . Гиперболы  $G_{\pm} = 0$  являются двухсвязными кривыми, но вид уравнения (18) указывает на то, что у каждой из них имеется компонента, которая проходит через центр полярной системы координат. У такой компоненты и только у нее найдется угол  $\varphi^{(\pm)}$ ,

где  $\rho^{(\pm)}(\varphi^{(\pm)}) = 0$ . Углы  $\varphi^{(\pm)}$  определяют наклоны касательных к гиперболам относительно направления  $\lambda$ -оси в центре координат. В результате, получаем

$$z^{(\pm)} = \frac{6z_* \mp 3(\sigma_*^2 - 2)}{2(2\sigma_*^2 + 1) \pm 12\sigma_*^2 z_*}, \quad (19)$$

где введено обозначение  $\operatorname{ctg} \varphi^{(\pm)} = z^{(\pm)}$ . Здесь знаменатель больше нуля, в силу неравенства

$$z_*^2 = \frac{4 - \sigma_*^2}{12\sigma_*^2} < \left( \frac{2\sigma_*^2 + 1}{6\sigma_*^2} \right)^2,$$

которое имеет место при  $\sigma_*^2 > 1$ .

Следующее утверждение дает ответ на вопрос, какая из компонент  $\Sigma_{\pm}$  кривой соответствует пересечению критической поверхности с плоскостью  $\varepsilon = \operatorname{const}$ .

**Теорема 3.** Критическая кривая представляется компонентой  $\Sigma_+$  двухсвязной кривой  $\Sigma_{\varepsilon}$ .

□ Необходимо установить какая из непрерывных компонент кривой, из указанных в Следствии 1, удовлетворяет условию (12). Компоненты кривой могут пересекаться с гиперболами  $G_{\pm} = 0$  либо в точках оси  $\sigma^2 = 0$ , либо в точках соприкосновения с эллипсом  $\Delta = 0$  (см. Замечания 2 и 3). Из формулы (11) следует, что гиперболы могут пересекать ось  $\sigma^2 = 0$  ( $\lambda$ -ось) в точках с  $\lambda = 0, \pm 1$ . Однако, из (9) получаем, что точки  $(\pm 1, 0)$  на плоскости  $(\lambda, \sigma^2)$  не лежат на кривой  $\Sigma_{\varepsilon}$  при  $\varepsilon \neq 1/2$ .

Кривая  $\Sigma_+$  не проходит через точку  $(0, 0)$  на плоскости  $(\lambda, \sigma^2)$ , которая имеет полярные координаты  $((\sigma_*^4 + \lambda_*^2)^{1/2}, \varphi_0)$  относительно  $(\lambda_*, \sigma_*^2)$ , где  $\operatorname{ctg} \varphi_0 = \lambda_* / \sigma_*$ ,  $\sin \varphi_0 < 0$ , так как  $\rho_+(\varphi_0) < 0$ . Так как кривая  $\Sigma_{\varepsilon}$  проходит через точку  $(0, 0)$  ( $P(0, 0, \alpha) = 0$ ), то через эту точку должна проходить кривая  $\Sigma_-$ .

Кривая  $\Sigma_-$ , согласно ее определению, не проходит через точку соприкосновения, в которой допустимо пересечение гипербол  $G_{\pm} = 0$  с  $\Sigma_{\varepsilon}$  (см. Замечание 3). Поэтому компонента  $\Sigma_-$  может иметь общие точки с этими гиперболами только при  $\sigma^2 = 0$ , но такое пересечение, согласно вышесказанному, имеет место только в точке  $(0, 0)$ , которая принадлежит им обоим.

Докажем, теперь, что кривая  $\Sigma_-$  при  $\varphi \neq \varphi_0$  находится внутри области, определяемой неравенством  $G_+ G_- < 0$ . Так как компонента  $\Sigma_-$  может

иметь только одну общую точку  $(0, 0)$  с каждой из гипербол  $G_{\pm} = 0$ , то она будет находиться в указанной области, если неравенство имеет место в окрестности этой общей точки.

Доказательство выполнимости неравенства  $G_- G_+ < 0$  для точек кривой  $\Sigma_-$ , сколь угодно близких к декартовой точке  $(0, 0)$ , основано на уравнении  $P(\lambda, \sigma^2, \varepsilon) = 0$ , которому она удовлетворяет. Определим, исходя из него, направление касательной к этой компоненте в точке  $(0, 0)$ , где  $\varphi = \varphi_0$ .

Так как  $(\partial P / \partial \sigma^2)_{(0,0)} = -4$ ,  $(\partial P / \partial \lambda)_{(0,0)} = 0$ , то по теореме о неявной функции  $\sigma^2(\lambda)$ ,  $(d\sigma^2 / d\lambda)_{(0,0)} = 0$ , то есть касательная к кривой  $\rho_-(\varphi)$  в нулевой точке направлена по прямой с  $\sigma^2 = 0$ .

Каждая из гипербол пересекает компоненту в нулевой точке. Покажем, что каждая из них имеет в этой точке касательную, пересекающую ось  $\sigma^2 = 0$ , рассматривая эти гиперболы как функции  $\sigma_{\pm}^2(\lambda)$ . Из уравнений (11), следует, что неявные функции  $\sigma_{\pm}^2(\lambda)$  в точке  $(0, 0)$  имеют касательные с коэффициентами

$$\left( \frac{d\sigma_{\pm}^2}{d\lambda} \right)_{(0,0)} = [3(1 \mp 3\varepsilon)]^{-1} \neq 0.$$

Тогда, точки  $(\lambda \in \mathbb{R}, 0)$  компоненты  $\Sigma_-$ , достаточно близкие к нулевой точке, находятся в области  $G_- G_+ < 0$ , так как гиперболы в этих точках принимают значения  $G_{\pm}(\lambda, 0, \varepsilon) = \pm 4\lambda + O(\lambda^2)$  при  $\lambda \rightarrow 0$ .

Рассмотрим возможность пересечения гипербол компонентой  $\Sigma_+$ . Такая возможность имеется только в точке соприкосновения  $(\lambda_*(\varepsilon), \sigma_*(\varepsilon))$ , то есть в центре полярной системы координат. Компонента  $\Sigma_+$  разделяет полуплоскость  $(\lambda, \sigma^2 \geq 0)$  на две части. Если имеется пересечение какой-либо из гипербол  $G_+ = 0$  или  $G_- = 0$  с этой компонентой, то такая гипербола должна, при непрерывном изменении угла  $\varphi$ , перейти из одной части плоскости в другую, проходя через точку соприкосновения так, что  $\rho^{(+)}(\varphi^{(+)}) = 0$ , соответственно  $\rho^{(-)}(\varphi^{(-)}) = 0$ . Покажем, что такие переходы невозможны.

Так как компонента  $\Sigma_+$  обладает каслом в точке соприкосновения  $(\lambda_*, \sigma_*)$ , то есть имеет точку поворота, при  $\varphi = \varphi_*$  с касательной в виде луча, исходящего под углом  $\varphi_*$  из этой точки, то, для доказательства невозможности перехода гипербол из одной части полуплоскости в другую, достаточно показать, что  $\varphi^{(-)} > \varphi_* > \varphi^{(+)}$ , то есть имеет место  $z^{(+)} < z_* < z^{(-)}$ . Эти неравенства эквивалентны, в силу  $z_*^2 = (4 - \sigma_*^2)/12\sigma_*^2$ , неравен-

ствам  $(1 \pm 2z_*)(\sigma_*^2 - 1) > 0$ . Последние справедливы при  $z_* \in (-1/2, 1/2)$  и  $\sigma_*^2 > 1$ . ■

**Следствие 2.** При  $\sigma^2 \rightarrow \infty$  ветви  $\lambda_{\pm}(\sigma^2)$  критической кривой  $\Sigma_+$  в плоскости  $(\lambda, \sigma^2)$ , при фиксированном значении  $\varepsilon$ , удовлетворяют неравенствам

$$-\frac{1}{2}(\sigma^2 - \sigma_*^2) + \lambda_* < \lambda_-(\sigma^2) < \lambda_+(\sigma^2) < \frac{1}{2}(\sigma^2 - \sigma_*^2) + \lambda_*$$

и имеют следующее асимптотическое поведение:

$$\lambda_-(\sigma^2) = -\frac{\sigma^2}{2} + \sigma\sqrt{2(1-2\varepsilon)} + O(1), \quad \lambda_+(\sigma^2) = \frac{\sigma^2}{2} - \sigma\sqrt{2(1+2\varepsilon)} + O(1).$$

□ Так как критическая кривая определяется функцией  $\rho_+(\varphi)$  при  $\varphi \in (\psi, \pi - \psi)$ , то неравенства следуют из (15) и ограничения на угол  $|\operatorname{ctg}\varphi| = |z| < 1/2$ .

Разделим уравнение (9) на  $\sigma^8/16$  и введем новую переменную  $a = 2\lambda/\sigma^2$ ,

$$\begin{aligned} \tilde{P}(a, \sigma^2, \varepsilon) &\equiv \\ &= a^4 + 4a^2\left(\sigma^{-4} - 5\sigma^{-2} - 1/2\right) - 8\varepsilon a(9\sigma^{-2} + 18\sigma^{-4} - a^2\sigma^{-2}) - \\ &\quad - \left(4/\sigma^2 - 1\right)^3 - 432\sigma^{-4}\varepsilon^2 = 0. \end{aligned}$$

Согласно Теореме 1 и (15) ветви  $\lambda_{\pm}(\sigma^2)$  компоненты  $\Sigma_+$  стремятся к бесконечности при  $\sigma^2 \rightarrow \infty$ . Поэтому асимптотики функций  $a_{\pm}(\sigma^2) = 2\lambda_{\pm}(\sigma^2)/\sigma^2$ , которые удовлетворяют этому уравнению, вычисляются на его основе переходом к пределу  $\sigma^2 \rightarrow \infty$ . В силу доказанных неравенств для ветвей  $\lambda_{\pm}(\sigma^2)$ , функции  $a_{\pm}(\sigma^2)$  ограничены. Тогда каждая из них имеет предел  $a_*$ . Для этих предельных значений получаем уравнение  $(a_*^2 - 1)^2 = 0$  так, что  $a_* = \pm 1$  – его двукратно вырожденные корни. Подстановка выражений  $a = \pm 1 + b$  в уравнение, где  $b = o(1)$  при  $\sigma^2 \rightarrow \infty$  приводит, с точностью до  $O(b^3)$ , к уравнению  $b^2 - 8\sigma^{-2} + 16\varepsilon\sigma^{-2}\operatorname{sgn}(a_*) = 0$ , что дает четыре значения для функций  $b = \pm 2\sqrt{2}(1 + 2\varepsilon\operatorname{sgn}(a_*))^{1/2}/\sigma$ .

Из Теоремы 3 следует, что наименьшее и наибольшее из этих четырех значений соответствуют асимптотическим кривой  $\Sigma_-$  при  $\sigma^2 \rightarrow \infty$ , что завершает доказательство утверждения. ■

Пример. В качестве примера рассмотрим критическую кривую в симметричном случае, когда  $\alpha = 1/2$ , которая описывается биквадратным уравнением. Кривая, определяемая им, двухсвязна. Его решение, соответствующее разрешенной области значений параметров, имеет вид

$$\lambda^2 = \frac{1}{2} \left[ \frac{\sigma^4}{2} + 5\sigma^2 - 1 - (2\sigma^2 + 1)^{3/2} \right].$$

Из условия положительности  $\lambda^2 > 0$  следует ограничение  $\sigma^2 \geq 4$ , то есть критическая кривая расположена выше эллипса.

В точке соприкосновения  $(0, 4)$  кривая  $\sigma^2(\lambda)$  имеет «касп», который характеризуется *критическим индексом*  $2/3$ , так как асимптотика кривой в точке  $\lambda = 0$  имеет вид  $\sigma^2 = 4 + 3(2|\lambda|)^{2/3}(1 + o(1))$ . График функции  $\sigma^2(\lambda)$  приведен на рис. 1.

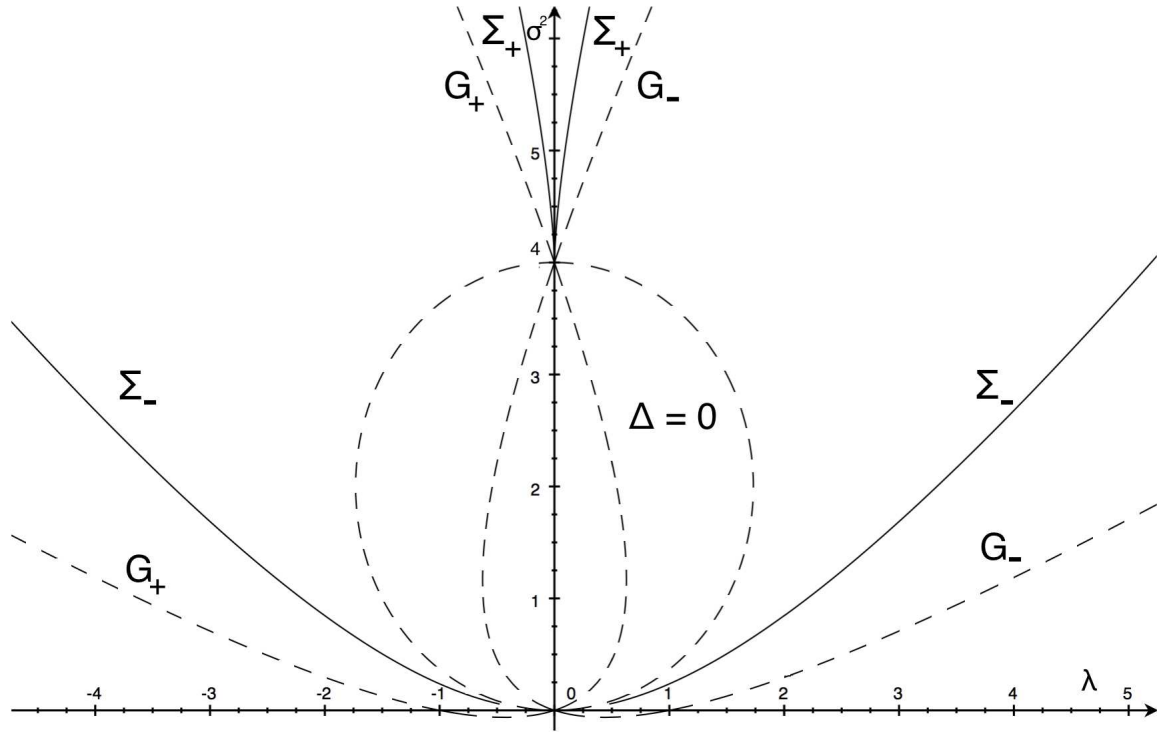


Рис. 1. Кривые  $\Sigma_+$  и  $\Sigma_-$  в симметричном случае. Сплошные линии описывают кривые.

Пунктирные линии описывают гиперболы  $G_{\pm}$  и эллипс  $\Delta = 0$ .

## Глава 4. Исследование критической кривой в предельных случаях

Выводы, полученные в предыдущем разделе, справедливы при любых значениях  $\varepsilon \in (-1/2, 1/2)$ . Однако, с точки зрения получения удобных расчетных формул для критической кривой, в разложении выражения (17) для  $\rho_+(\varphi)$  вблизи точки каспа можно ограничиться первыми слагаемыми только в случае, когда  $|\varepsilon|$  не очень близок к значению  $1/2$ . В этом разделе мы изучим противоположный случай, когда  $(1/2 - |\varepsilon|)$  является малым параметром. Такой анализ опирается на решения уравнения (9) при  $|\varepsilon| = 1/2$ , несмотря на то, что они являются нефизическими. Эти решения представляются явными формулами для кривой  $\Sigma_\varepsilon$ . Принимая во внимание симметрию критической поверхности при замене  $\varepsilon$  на  $-\varepsilon$ , мы изучим решения только в случае  $\varepsilon = -1/2$ . Непосредственно проверяется, что они описываются следующим образом. Кривая  $\Sigma_\varepsilon$  состоит из: двукратной прямой  $\lambda_0 = 1 + \sigma^2/2$  и кривой, состоящей из двух полупарabol  $\lambda_\pm = (-\sigma^2 \pm 4\sigma)/2$ , которые сшиваются в точке  $\lambda = 3/2$ ,  $\sigma^2 = 1$ .

В рассматриваемом нами случае, нужно построить теорию возмущений для формы кривой  $\Sigma_+$  при малых значениях  $\alpha$ . Для того, чтобы установить тип асимптотического разложения, которое мы строим в виде степенного разложения по дробным степеням  $\alpha$ , совершим подстановку

$$\lambda = (3 + u + v)/2, \quad \sigma^2 = 1 + v - u \quad (20)$$

так, что уравнение (9) и уравнение эллипса в этих переменных принимают вид

$$u^2(v^2 + 4u) + \alpha\{36u^2 + 6uv(u + v - 3) - 4(u^3 + v^3)\} - 27\alpha^2(1 + v - u)^2 = 0,$$

$$u^2 + v^2 - uv + 3u = 0, \text{ соответственно.}$$

Найдем правильную асимптотику изменения переменных  $u, v$  в окрестности точки  $(0, 0)$  при  $\alpha \rightarrow 0$ . Для этого произведем замену  $u \rightarrow \alpha^a u$ ,  $v \rightarrow \alpha^b v$  с показателями  $a > 0$ ,  $b > 0$ , которые выбираются из условия

существования в левой части уравнения группы не менее чем из двух слагаемых с одинаковыми минимальными значениями степеней. Анализ возможностей такого выбора параметров  $a$  и  $b$  после произведенной замены приводит к единственным значениям  $a = 2/3$ ,  $b = 1/3$ .

В результате, производя баланс слагаемых с минимальной степенью величины  $\alpha$ , равной 2, и отбрасывая слагаемые более высокого порядка по степеням  $\alpha$ , имеем

$$R(u) \equiv 4(u^3 - v^3 - 27) + (uv - 9)^2 = 0. \quad (21)$$

Уравнение (21) описывает кривую третьего порядка на плоскости  $(u, v)$ . Покажем, что она двухсвязна и выделим из ее компонент ту, которая, как и кривая  $\Sigma_+$ , обладает точкой поворота.

При  $v \rightarrow \infty$  неявная функция  $u(v)$  не может быть ограниченной. Поэтому имеются асимптотики кривой  $u(v) \rightarrow \infty$  при  $v \rightarrow \infty$ . Из (21) следует, что возможны следующие типы асимптотического поведения:  $u \sim v^2$ ,  $u \sim v^{1/2}$ . Положим  $u = kv^2(1 + o(1))$ . После подстановки этого выражения в (21) с удержанием главных членов  $\sim v^6$ , получаем условие  $k = -1/4$  для их исчезновения. После этого находим, что  $o(1) = -2/v + o(v^{-1})$  является главным поправочным слагаемым. Асимптотика второго типа получается из первой на основе соображений симметрии уравнения (21) относительно  $u$  и  $v$ .

Применим алгоритм Евклида к паре полиномов  $R(u)$  и  $R'(u)$ . Остаток, после применения алгоритма пропорционален  $(v^3 - 27)^3$ , который обращается в нуль при  $v = 3$ . Следовательно, имеется точка  $(-3, 3)$ , в которой  $R(u)$  имеет кратный корень, то есть в ней может реализоваться либо самопресечение кривой, либо точка поворота («касп»).

Кривая симметрична относительно диагонали  $u = -v$  и имеет с ней две точки пересечения. Эти точки определяются из уравнения  $(u - 1)(u + 3)^3 = 0$ . Откуда видно, что точка  $(-3, 3)$  является особой. Во второй точке  $(1, -1)$  кривая пересекает трансверсально диагональ  $v = -u$ , так как в ней невозможно ее самопресечение.

По топологическим соображениям, наличие двух точек пересечения с побочной диагональю, вместе с неограниченностью кривой, позволяет сделать заключение о ее двухсвязности.

Таким образом, согласно поставленной выше задаче, нужно выбрать компоненту кривой, на которой находится точка  $(-3, 3)$  и исследовать

этую компоненту в окрестности этой особой точки. С этой целью перейдем к полярным координатам с центром в точке  $(-3, 3)$ ,  $u = -3 + \rho \cos \varphi$ ,  $v = 3 + \rho \sin \varphi$ . В результате, после исключения тривиального корня  $\rho = 0$ , получаем следующее квадратное относительно  $\rho$  уравнение

$$(\rho^2/4) \sin^2 2\varphi + \rho(\cos \varphi - \sin \varphi)(4 + 5 \sin 2\varphi) - 27(1 + \sin 2\varphi) = 0.$$

Так как последнее слагаемое отрицательно, то положительное решение  $\rho(\varphi)$  имеет вид

$$\rho(\varphi) = \frac{2}{\sin^2 2\varphi} \left[ (\sin \varphi - \cos \varphi)(4 + 5 \sin 2\varphi) + (2(2 + \sin 2\varphi))^{3/2} \right]. \quad (22)$$

Для того чтобы выяснить характер особенности при  $\rho = 0$ , нужно найти углы, при которых  $\rho(\varphi)$  стремится к нулю в особой точке с  $\rho = 0$ . При этом можно пренебречь слагаемым пропорциональным  $\rho^2$  в уравнении. Отсюда находим, что функция  $\rho(\varphi)$  стремится к нулю при  $\varphi \rightarrow -\pi/4$ , либо  $\varphi \rightarrow 3\pi/4$ . Вводя отклонения  $\chi = \varphi + \pi/4$ , либо  $\chi = \varphi - 3\pi/4$  от этих значений угла  $\varphi$ , находим из уравнения, что в окрестности каждого из них, то есть при  $\chi \rightarrow 0$ , выполняется  $\rho^2 \pm 4\sqrt{2}\rho - 216\chi^2 + o(\chi^2) = 0$ , где верхние знаки соответствуют  $\varphi = 3\pi/4$ , а нижние —  $\varphi = -\pi/4$ . Отсюда следует, что  $\rho(\varphi) = 27\sqrt{2}\chi^2 + o(\chi^2)$  при знаке (+), при знаке (-) решение  $\rho(\varphi)$ , обращающееся в нуль при  $\chi = 0$ , ввиду неотрицательности  $\rho(\varphi)$ , возможно только для изолированного значения  $\chi = 0$ . Это означает, что кривая  $\rho(\varphi)$  может подходить к особой точке только под углом  $\varphi = 3\pi/4$ . Поэтому она является точкой поворота кривой, то есть в ней реализуется «касп».

Перейдем теперь на выбранной компоненте кривой (22), которая содержит касп, к исходным переменным  $\lambda, \sigma^2$ . Учитывая все сделанные выше, в процессе анализа, замены переменных, находим

$$\lambda = \frac{1}{2} [3(1 + \alpha^{1/3} - \alpha^{2/3}) + \alpha^{1/3} \rho \sin \varphi - \alpha^{2/3} \rho \cos \varphi] + O(\alpha),$$

$$\sigma^2 = 1 + 3(\alpha^{1/3} + \alpha^{2/3}) + \alpha^{1/3} \rho \sin \varphi - \alpha^{2/3} \rho \cos \varphi + O(\alpha),$$

где  $\rho(\varphi)$ , определяется (22). Эти формулы, параметрически, определяют приближенно, с точностью до  $\alpha^{2/3}$ , критическую кривую при малых значениях  $\alpha$ . При  $\rho = 0$  они описывают сдвиг точки каспа  $(\lambda_*(\varepsilon), \sigma_*^2(\varepsilon))$  при  $\varepsilon$  вблизи значения  $(-1/2)$ .

## 5. Заключение

Проведен полный, в отличие от работ других авторов, анализ критической поверхности  $\Sigma$  модели Хорстхемке-Лефевра, разбивающей ее пространство параметров ( $\lambda, \sigma^2 > 0, \alpha \in (0, 1)$ ) на две области, в каждой из которых она имеет два качественно различных стационарных динамических режима. Переход между этими двумя режимами при достаточно медленным (квазистатическом) изменении параметров системы представляет, с физической точки зрения, фазовый переход между двумя «фазами»: унимодальной и бимодальной. Динамический режим в бимодальной фазе состоит из последовательно сменяющих друг друга временных интервалов случайной длительности, в которых относительная концентрация реагентов флюктуирует вблизи значения одного из двух максимумов плотности  $p(x)$ .

Рассматривая бифуркационную перестройку динамического режима системы как термодинамический фазовый переход, для его количественной характеристики нужно ввести параметр порядка. В качестве такового, по-видимому, нужно выбрать половину расстояния между концентрациями, соответствующими двум модам плотности распределения  $p(x)$ . Проклассифицируем фазовые переходы в рассмотренной системе, приняв за основу их разделение на два типа согласно следующему признаку: появляется ли в результате перехода отличное от нуля значение параметра порядка скачкообразно (переход 1-го рода) или непрерывно (переход 2-го рода). Тогда, в том случае, когда перестройка плотности  $p(x)$  происходит с образованием не более чем двукратного корня уравнения  $dp(x)/dx = 0$ , то второй максимум плотности возникает отдельно от уже существующего у нее максимума. Поэтому расстояние между этими максимумами не равно нулю в момент перехода и можно говорить о переходе первого рода. С аналитической точки зрения переход реализуется в виде катастрофы *складки*, согласно классификации Тома. Если же перестройка плотности происходит так, что уравнение  $dp(x)/dx = 0$  имеет трехкратный корень, то из исчезающего

максимума рождается сразу два новых максимума. Поэтому, в этом случае, параметр порядка непрерывным образом начинает возрастать начиная с нулевого значения и нужно говорить о фазовом переходе второго рода. В соответствии с проделанным анализом модели, второй случай реализуется в точке каспа критической кривой, которая находится на эллипсе  $\Delta = 0$ . При этом мода, в которой происходит бифуркация, расположена в точке  $x_0 = 1/2 - \lambda/3\sigma^2$ . Согласно классификации Тома этот переход происходит в результате катастрофы *сборки*. Применимость такой классификации связана с тем, что  $p(x)$  аналитически зависит от параметров  $\lambda$  и  $\sigma^2$ . Если положить, что роль температуры в рассматриваемой системе выполняет интенсивность шума  $\sigma^2$ , то критический индекс параметра порядка в точках соприкосновения критической кривой равен  $1/2$ , как это имеет место для катастрофы сборки:

$$(\sigma^2 - \sigma_*^2) \left( \frac{\partial p'}{\partial \sigma^2} \right)_{x_*} + \frac{1}{2} (x_0 - x_*)^2 p'''(x_*) = 0, \quad (x_0 - x_*) \sim (\sigma^2 - \sigma_*^2)^{1/2}.$$

Вместе с тем, нужно отметить, что фазовый переход 1-го рода в системе происходит без дополнительных затрат теплоты на образование новой фазы, если в качестве термодинамической энтропии  $S$  системы выбрать энтропию Шеннона  $\int_0^1 p(x) \ln p(x) dx$ , которая изменяется непрерывно с изменением параметров системы. Тогда термодинамическая связь  $\delta Q = T \delta S$  указывает на отсутствие теплового скачка при переходе из унимодальной фазы в бимодальную.

## 6. Литература

1. Kimura M., Ohta T. Theoretical aspects of Population genetics / Boston: Princeton University Press, 1971.
2. Arnold L., Horsthemke W., Lefever R. White and coloured external noise and transition phenomena in nonlinear systems // Zs. Phys. – 1978. – B29. – P.367-373.
3. Фам Минь Туан, Вирченко Ю.П. Анализ стохастической модели химической кинетики бинарной автокатализитической реакции // Belgorod State University Scientific Bulletin Mathematics & Physics. – 2013. – 11(154);31. – C.130-146.
4. Хорстхемке В., Лефевр Р. Индуцированные шумом переходы: Теория и применение в физике, химии и биологии / Пер. с англ. /М.: Мир, 1987. – 400 с.
5. Kabashima S., Kawakubo T. Observation of noise-induced phase transition in parametric oscillator // Phys. Lett. – 1979. – 70A. – P.375-376.
6. Smythe J., Moss F., McClintock P.V.E. Observation of noise-induced phase transition with an analog simulator / Phys. Rev. Lett. – 1983. – 51; 12. – P.1062-1065.
7. Landa P.S., McClintock P.V.E. Changes in the dynamical behavior of nonlinear systems induced by noise / Physics Reports. – 2000. – 323. – P.1-80.
8. Horsthemke W. Noise-Induced Transitions // in: Stochastic Nonlinear Systems in Physics, Chemistry, and Biology / Eds. L. Arnold, F. Lefever / Berlin : Springer-Verlag, 1981. – P.116-126.
9. Lefever R. Noise-Induced Transitions in Biological Systems // in: Stochastic Nonlinear Systems in Physics, Chemistry, and Biology / Eds. L. Arnold, F. Lefever / Berlin : Springer-Verlag, 1981. – P.127-136.

10. Horsthemke W., Lefever R. Noise-Induced Transitions // in: Noise and nonlinear dynamical systems V.2 Theory of noise induced processes in special applications / Eds. Moss F., Mc-Clintock P.V.E. / Cambridge: Cambridge University Press, 2009. – P.179-208.
11. Horsthemke W., Lefever R. Noise-Induced Transitions: Theory and Applications in Physics, Chemistry and Biology / Berlin : Springer, 2006. - 318 p.
12. Фам Минь Туан, Вирченко Ю.П. Анализ фазовой диаграммы в стохастической модели химической кинетики бинарной циклической реакции // Belgorod State University Scientific Bulletin Mathematics & Physics. – 2013. – 26(169);33. – С.57-63.
13. Фам Минь Туан, Вирченко Ю.П. Исследование критической поверхности стохастической модели химической кинетики бинарной автокаталитической реакции. Сильно асимметричный случай // Belgorod State University Scientific. Bulletin Mathematics & Physics. – 2014. – 5(176);34. – С.103-111.
14. Фам Минь Туан, Вирченко Ю.П. Анализ критической поверхности стохастической модели бинарной циклической реакции с фазовым переходом // Belgorod State University Scientific. Bulletin Mathematics & Physics. – 2014. – №25(196); 37. – С.108-118.
15. Яблонский Г.С., Быков В.И., Горбань А.Н. Кинетические модели катализических реакций / Новосибирск: Наука (Сиб. отделение), 1983. – 256 с.
16. Пугачев В.С., Синицын И.Н. Стохастические дифференциальные системы /М.: Наука, 1990. – 628 с.
17. Stratonovich R. L. A new representation for stochastic integrals and equations // SIAM J. Control. – 1966. – 4. – P.362.
18. Ito K. Stochastic differential equations on a differentiable manifold // Nagoya Math. J.. – 1950. – 1. – P.35.
19. Van Kampen N.G. Ito versus Stratonovich // J.Stat.Phys. – 1981. – 24. – P.175-187.

20. Moon W., Wettlaufer J.S. On the interpretation of Stratonovich calculus // New Journal of Physics. – 2014. – 16. – P.055017.
21. Wong E., Zakai M. On the convergence of ordinary integrals to stochastic integrals / Ann. Math. Stat. – 1965. – 36. – P.1560-1564.
22. Blankenship G., Papanicolaou G.C. Stability and control of stochastic systems wide-band noise disturbances // CIAM J.Appl.Math. – 1978. – 34. – P437-476.
23. Smythe J., Moss F., McClintock P.V.E., Clarkson D. Ito versus Stratonovich revisited / Phys. Lett A. – 1983. – 97. – P.95-98.
24. Гихман И.И., Скороход А.В. Стохастические дифференциальные уравнения / Киев: Наукова Думка, 1968. – 356 с.
25. Ласкин Н.В., Пелетминский С.В., Приходько В.И. К кинетической теории систем в случайных полях / Теор. мат.физ. – 1978. – 34. – P.244-255.
26. Фам Минь Туан, Вирченко Ю.П. Корректность стохастического уравнения генетической модели // Belgorod State University Scientific. Bulletin Mathematics & Physics. – 2014. – №11(208); 39. – C.161-166.
27. Вирченко Ю.П., Ласкин Н.В. Огрубленное описание распределения решений уравнения Ланжевена / Теор. мат. физ. – 1979. – 41;3. – P.406-417.
28. Тихонов А.Н., Самарский А.А. Уравнения математической физики // М.: Изд. МГУ, 1999. – 798 с.
29. Elliott J. Eigenfunction expansions associated with singular differential operators // Trans. Am. Math. Soc. – 1955. – 78. – P.406-425.
30. Савелов А.А. Плоские кривые, систематика, свойства и применение / М.: Физ.-мат. лит. – 1960. – 296 с.